

## 港湾護岸の耐震性判定法に関する一手法

京都大学防災研究所 正 佐藤忠信  
京都大学 大学院 学 ○辰巳安良

### 1. まえがき

護岸構造物の中でも、大阪に見られるように地盤次下地帯では、過去に何度かがさ上げが行われたために、トップハッパーの複雑な断面形状になって、地震時の安定性はかなり損なわれているのが現状であると考えられる。このような地域に設けられている護岸構造物の耐震強度の算定には、静的震度法が用いられるが、検査断面の数が多くなると、この方法は実用的でないと考えられる。ニニでは、数量化理論によって、過去の護岸構造物の震害を要因別に評価し、その結果に基づき、構造特性と地盤特性に主眼を置いた耐震判定基準を作成するための基礎資料を提供する。

### 2. 数量化理論と解析資料

港湾構造物、特に岸壁、突堤、護岸構造物の大地震時に受けける被害がどのような要因に支配されるかを明らかにするため、数量化理論Ⅱによつて十勝沖ならびに新潟地震の被害例を用いて解析を行つた。まず、地震時ににおける構造物被害の程度を格付する。この格付は港湾技術研究所の震害調査報告資料に基づいて行ひ、表-1のように3種類に分類した。ニニは、被害後の断面が原形に比べてどれだけ変形しているかという観点から震害を評価したものである。

つぎに、この震害に影響を及ぼしたと考えられる要因を選んでさなければならぬが、ニニでは、表-2に示したようなく5個の項目を考える。地盤特性としては表層の厚さ、表層の平均N値を取り上げた。構造特性としては、構造の高さと構造形式を取り上げた。各項目を数個の範疇に分け、全部で19個の範疇に分類した。つき、サンプルの番号をとし、各項目の番号をとし、各項目内の範疇の番号をとし、変数  $x_{ijk}$  を考える。ニニは、各範疇が震害にどのような重みを持っているかを表す変数であつて、ニニを数量化理論によつて決定する。重み係数が求まるとい、各サンプルの震害度を表現する合成变量  $\pi_i$  が〇印の付いてゐる場所の重み係数の和として与えられる（例えば  $\pi_3 = x_{12} + x_{23} + x_{31} + x_{46} + x_{52}$ ）。この  $\pi_i$  の値を、表-1に示した震害の分類との相間が最も良くなるように重み係数  $x_{ijk}$  を求めねばよい。

表-1 震害の分類

震害の分類	震害の評価	被害の程度
0		無被害
1	I	本体には異状はないが付属構造物に破壊や変状が認められる。
2	II	本体にかなりの変状が起つた
3	III	形をとどめているが、構造物本体に破壊が起つたと考えられるもの
	IV	全壊して形をとどめないもの

表-2 震害要因とその細目

項目	範 疇	重み係数	データ No
地盤 (軟弱層厚)	0~5m	$x_{11}$	
	5~10m	$x_{12}$	○ ○
	10~m	$x_{13}$	○
表層の特性 (N値)	0~10	$x_{21}$	
	10~20	$x_{22}$	○
構造の高さ (柱高)	0~10	$x_{31}$	○ ○
	10~20	$x_{32}$	
構造形式	0~4m	$x_{41}$	○
	4~8m	$x_{42}$	○
	8~m	$x_{43}$	○
震度階	鋼板	$x_{51}$	
	盛土	$x_{52}$	
	アーチ式支板	$x_{53}$	○
	コーカート支板	$x_{54}$	
	タ-ソン	$x_{55}$	○
	重力式擁壁	$x_{56}$	○
IV		$x_{57}$	
		$x_{58}$	○ ○
		$x_{59}$	

### 3. 解析結果

解析に用いたデータの总数は 128 で、二の中からサンプルを抽出し、重み係数を決めた。表-3 にサンプル总数 128, 106, 97 の 3 種類の重み係数が表示されている。まず、サンプル总数が 128 について考える。各項目の中で重み係数の大きさ範囲が、その項目の中での支配的要因になっておりこれを考慮すると、地盤は層厚が厚くなるほど、 $N$  値は小さくなるほど、震度階は大きくなるほど、震害の危険度が増加していくことがわかる。構造の高さに関しては、常識的な傾向とは異って、構造の高さが低くなるほど震害が大きくなる傾向を示している。これは、過去の震害例を単純に数学的に処理して得られたものであり、サンプルの性質に偏りがあるためと考えられる。実際の基準作成においては工学的判断を加味しなければならない。

また、二の表には、それぞれの項目に対するレンジが示してあるが、この値が大きいほど、どの項目の震害における影響の大きさを示している。サンプル数 128 の群から表層の  $N$  値が震害に最も大きな影響を与えることが判明する。つぎに、サンプル数 106 の群を見ると、これは表層の  $N$  値の影響を取り除いて解析を行ったものであるが、表層の層厚が最大の震害要因になってしまっている。さらに 97 のサンプル群では、層厚の影響を取り除いてあるが、構造形式が最大の震害要因となってしまった。

図-1 はサンプル数 128 の合成変量を震害の分類ごとに示したものである。二の図における分類 3 は構造物が完全に崩壊するが、何とかかの処置をほどこすなりがぎり、そのままでは使用不能のものを表わしている。このような震害を受ける構造物は、合成変量にして 50 前後の値をもつてほぼ分離できることがわかる。

謝辞： 本研究を遂行するに当り、範囲の設定に関して幾たびとなく有益なご討議をいただいた京都大学教授柴田 徹先生、土岐憲三先生に感謝します。

表-3 解析結果

項目	範囲	サンプル数		128		106		97		
		デ-ジタル	X <sub>jk</sub>	レンジ	デ-ジタル	X <sub>jk</sub>	レンジ	デ-ジタル	X <sub>jk</sub>	レンジ
地盤 (軟弱層厚)	0~5m	16	-6.4		9	-17.7		-	-	
	5~10m	65	8.4	31.4	55	6.1	40.4	55	5.1	17.9
	10~m	47	25.0		42	22.7		42	23.0	
表層の 特性	砂質土 N 値 10~20	63	8.4		63	6.1		59	5.1	
	N 値 10~20	13	-12.0	38.6	-	-	3.6	-	-	4.9
	粘性土 S <sub>c</sub> 値 10~20	43	6.6		43	2.5		38	0.2	
構造の 高さ	0~4m	25	25.7		22	28.3		18	26.3	
	4~8m	60	8.4	22.0	43	6.1	23.4	20	5.1	21.2
	8~m	43	3.7		41	4.9		39	8.6	
構造 形式	鋼矢板	45	8.4		40	6.1		35	5.1	
	盛土	35	19.7		21	26.5		19	33.3	
	アーチ橋	13	3.1	29.7	12	4.9	34.1	12	7.8	35.3
	コンクリート板	9	32.5		8	36.9		8	40.4	
	ゲーソン	18	9.6		17	11.2		17	12.1	
震度階	動力式擁壁	8	2.8		8	2.8		6	15.5	
	IV	33	-14.3		32	-16.2		32	-15.6	
	V	90	8.4	23.4	69	6.1	33.7	65	5.1	20.7
	VI	5	9.1		5	17.5		-	-	
直中率 (%)		72.0		73.6		74.2				

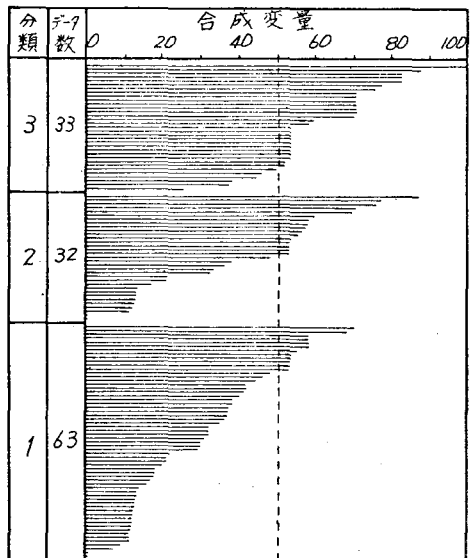


図-1 震害の分類と合成变量の関係